
ЭКСПЛУАТАЦИЯ ОБЪЕКТОВ
АТОМНОЙ ОТРАСЛИ

УДК 539.42

МОДЕЛИРОВАНИЕ ВЫСОКОСКОРОСТНОГО УДАРА

© 2015 г. О.А. Губеладзе

Волгодонский инженерно-технический институт – филиал Национального исследовательского ядерного университета «МИФИ», Волгодонск, Ростовская обл.

Рассматривается проблема решения динамических контактных задач взаимодействия ударника цилиндрической формы с преградой по нормали численными методами.

Ключевые слова: динамическая контактная задача, численные методы, ударник.

Поступила в редакцию 10.03.2015 г.

Получисленные и численные методы решения нестационарных динамических контактных задач наиболее часто используются в настоящий момент времени. Перечисление этих методов составит длинный список: конечно-разностные (сеточные) методы, развитые для решения проблем газовой динамики и адаптированные для численного решения контактных задач динамики удара, метод конечного элемента, различные варианты метода граничных интегральных уравнений, вариационно-разностные методы, сеточно-характеристические методы и многие другие, в том числе комбинированные.

Среди комбинированных численно-аналитических методов наибольшее распространение получил метод, когда начально-краевая задача сводится к решению интегрального уравнения, решение которого строится одним из численных методов. Развитие математических методов решения нестационарных динамических контактных задач позволяет, в отсутствие надежных экспериментальных данных, получить качественное представление о процессе удара твердого тела в упругую и неупругую среду и количественные данные об основных его характеристиках.

При высоких скоростях (высокоскоростной удар) остаточные деформации материалов взаимодействующих тел значительны, а также диссипация энергии при ударе приводит к локальному росту температуры, что в свою очередь влияет на свойства материала. Для соударяющихся металлических тел можно выделить следующие режимы [1]:

- упругий удар ($<0,1$ м/с);
- вдавливание при полной пластичности (~ 5 м/с);
- поверхностное квазистатическое вдавливание (~ 100 м/с);
- обширное пластическое течение (~ 1000 м/с);
- сверхскоростной удар (~ 10000 м/с).

При соударениях, описываемых квазистатической теорией, эффектами тепловыделения пренебрегаем. Повышение скорости удара приводит к более выраженным пластическим деформациям. Если материал ударника тверже, чем материал преграды, то диаметр кратера становится больше диаметра ударника и вдавливание происходит на глубину, также превышающую этот диаметр (выделение тепла при сдвиге понижает динамический предел текучести материала). В случае дальнейшего повышения скорости материал становится больше похожим на идеальную жидкость, чем на пластическое тело.

Рассмотрим задачу взаимодействия ударника цилиндрической формы с преградой. С учетом сжимаемости материала ударника система уравнений, описывающая подобное движение, имеет вид [2]:

$$\begin{aligned} \frac{\partial \rho}{\partial \tau} &= -\rho \left[\frac{\partial v_1}{\partial x_1} + \frac{\partial v_2}{\partial x_2} \right]; \\ \rho \frac{\partial v_1}{\partial \tau} &= \frac{\partial S_{11}}{\partial x_1} + \frac{\partial S_{12}}{\partial x_2} + \frac{\partial P}{\partial x_1}; \\ \rho \frac{\partial v_2}{\partial \tau} &= \frac{\partial S_{12}}{\partial x_1} + \frac{\partial S_{22}}{\partial x_2} + \frac{\partial P}{\partial x_2}; \end{aligned} \quad (1)$$

$$\rho \frac{\partial E}{\partial \tau} = -\frac{P}{S} \frac{\partial P}{\partial \tau} + S_{11} \frac{\partial v_1}{\partial x_1} + S_{22} \frac{\partial v_2}{\partial x_2} + S_{12} \left(\frac{\partial v_1}{\partial x_2} + \frac{\partial v_2}{\partial x_1} \right);$$

$$\frac{\partial V_T}{\partial \tau} = P \frac{A_1 \exp \left[\frac{V_T}{V_{T_0}} + \frac{P}{P_0} \right]}{A_2 + \exp \left(\frac{P}{P_0} \right)} U_+,$$

где U_+ – ступенчатая функция, равная единице, если $V_T > 0$ или ($V_T = 0$ и $p > 0$); x_1 и x_2 – координаты;

ρ – плотность материала;

S_{11}, S_{12}, S_{22} , – компоненты девиатора напряжений;

P – давление;

v_1, v_2 – компоненты вектора скорости;

E – удельная внутренняя энергия;

A_1, A_2, P_0, V_{T_0} – экспериментально определяемые константы материала;

V_T – удельный объем пор в материале.

Уравнение состояния материала запишется в виде [2]

$$P = \sum_{m=1}^3 K_m k^m \left[1 - \frac{K_0 k}{2} \right] + K_0 \rho_0 E, \quad (2)$$

где K_0, K_m – константы материала;

$k = V / (V - V_T) - 1$;

$V = 1/\rho$ и $V_0 = 1/\rho_0$ – текущий и начальный удельные объемы.

Компоненты девиатора напряжений определяются из соотношений [3]:

$$\begin{aligned} 2G \left[\frac{\partial v_1}{\partial x_1} + \frac{1}{3\rho} \frac{\partial \rho}{\partial \tau} \right] &= \frac{d^0 S_{11}}{d\tau} + \lambda S_{11}; \\ 2G \left[\frac{\partial v_2}{\partial x_2} + \frac{1}{3\rho} \frac{\partial \rho}{\partial \tau} \right] &= \frac{d^0 S_{22}}{d\tau} + \lambda S_{22}; \\ G \left[\frac{\partial v_1}{\partial x_2} + \frac{\partial v_2}{\partial x_1} \right] &= \frac{d^0 S_{12}}{d\tau} + \lambda S_{12}, \end{aligned} \quad (3)$$

где $G=G_0A_3/(V_T+A_3)$ – модуль сдвига;

A_3 – константа материала;

λ – параметр упругости, тождественно равный нулю при упругой деформации и определяемый с помощью условия текучести при пластической деформации.

$$S_1^2 + S_2^2 + S_3^2 = 2\sigma^2 / 3.$$

Здесь S_1, S_2, S_3 – главные компоненты девиатора напряжений;

σ – динамический предел текучести.

Для замкнутой системы уравнений сформулируем краевую задачу взаимодействия цилиндрической деформируемой частицы, область которой обозначим D_1 , и преградой, занимающей область D_2 .

Начальные условия:

– при $(x_1, x_2) \in D_1 \cup D_2$ $\rho(x_1, x_2, 0) = \rho_0$ и $v_2(x_1, x_2, 0) = 0$;

– при $(x_1, x_2) \in D_2$ $v_1(x_1, x_2, 0) = 0$;

– при $(x_1, x_2) \in D_1$ $v_1(x_1, x_2, 0) = v_0$;

– при $(x_1, x_2) \in D_1 \cup D_2$

$$S_{11}(x_1, x_2, 0) = S_{22}(x_1, x_2, 0) = S_{12}(x_1, x_2, 0) = P(x_1, x_2, 0) = E(x_1, x_2, 0) = V_T(x_1, x_2, 0).$$

(4)

Граничные условия:

– на свободной поверхности $\sigma_{ij}(x_1, x_2, \tau) = 0$, $i, j=1, 2$;

– на границе контакта F.

$$\begin{cases} \sigma_{11}^{y0} = \sigma_{11}^{прег} \\ \sigma_{22}^{y0} = \sigma_{12}^{y0} = \sigma_{22}^{прег} = \sigma_{12}^{прег} = 0 \end{cases}.$$

(5)

Разрушение по типу отрыва происходит в процессе роста и слияния микропор под действием растягивающих напряжений. Материал считается разрушенным при $V_T \geq V_T^{кр}$, где $V_T^{кр}$ задается в интервале $1 \cdot 10^{-5} \div 1 \cdot 10^{-4}$ м³/кг (от хрупкого до пластичного материала) [1].

По механизму сдвига материал считается разрушенным при $A_p \geq A_p^{кр}$, где A_p – удельная работа пластических деформаций [4]. Приращение определяется по формуле:

$$\Delta A_p = \frac{1}{3} \sigma \frac{1}{\rho G} \left(\sqrt{\frac{3J_2}{2}} - \sigma \right),$$

(6)

где J_2 – второй инвариант компонент девиатора напряжений.

Для решения сформулированной задачи использован конечно-разностный метод с явной схемой расчета. В области D_1 вводится сетка с шагом по координатам $x_1 - \Delta h_1^{D1}$, $x_2 - \Delta h_2^{D1}$; в области D_2 сетка с шагами $x_1 - \Delta h_1^{D2}$ и $x_2 - \Delta h_2^{D2}$. Шаг по времени для всей области D равен Δt . Численные расчеты в областях D_1 и D_2 проводятся в одной временной сетке. Связь между областями осуществляется через граничные условия на поверхности контакта ударника и преграды (5).

В качестве примера рассмотрим:

а) распространение волн напряжений в пластине (сталь 3), вызванных взаимодействием с ударником (свинец). Толщина пластины 0,02 м, диаметр и длина ударника по 0,01 м. Скорость взаимодействия 100 м/с. На рисунках 1а – 1е представлены результаты расчета на момент времени $\tau = 8,67 \cdot 10^{-5}$. Видно, что при воздействии ударника возникают большие перерезывающие усилия, приводящие к высокой концентрации напряжений в данной области.

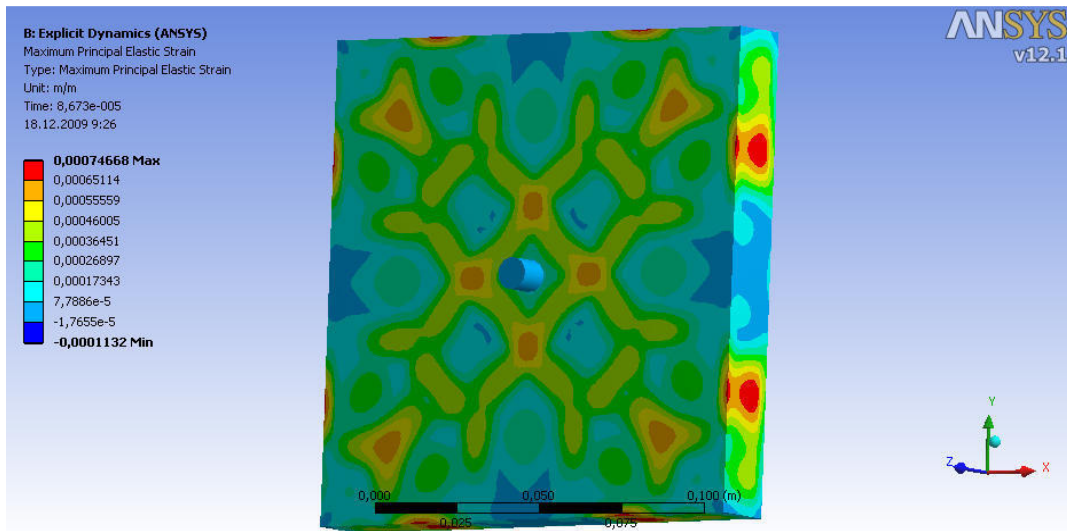


Рис. 1а. – Максимальные нормальные упругие напряжения

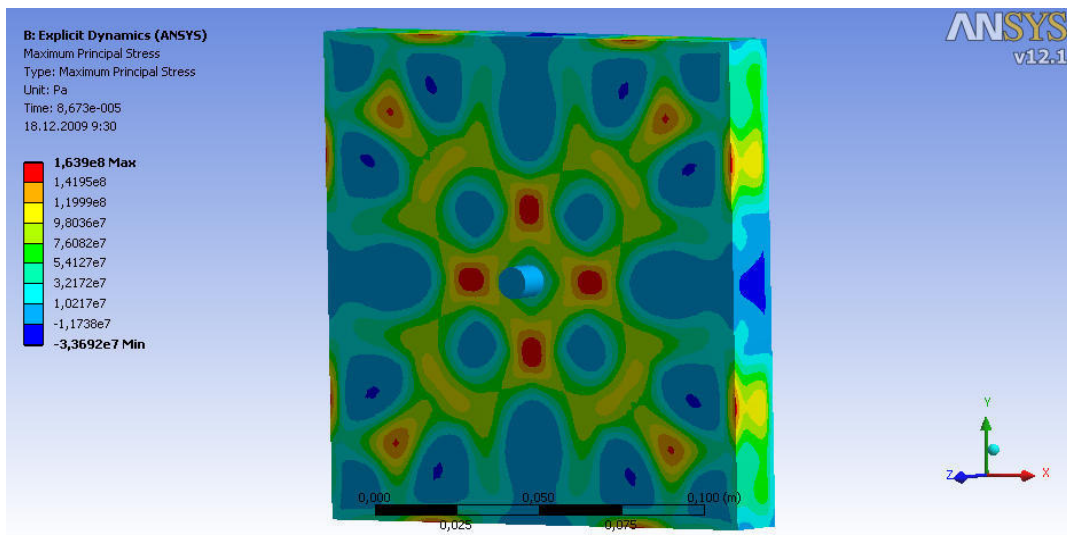


Рис. 1б. – Максимальные нормальные напряжения

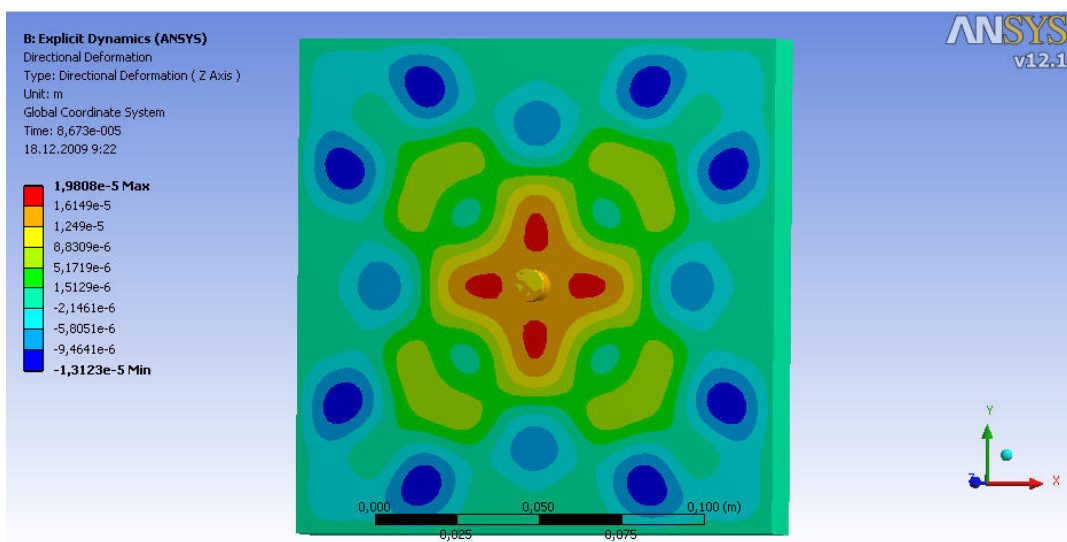


Рис. 1в. – Перемещения относительно Z

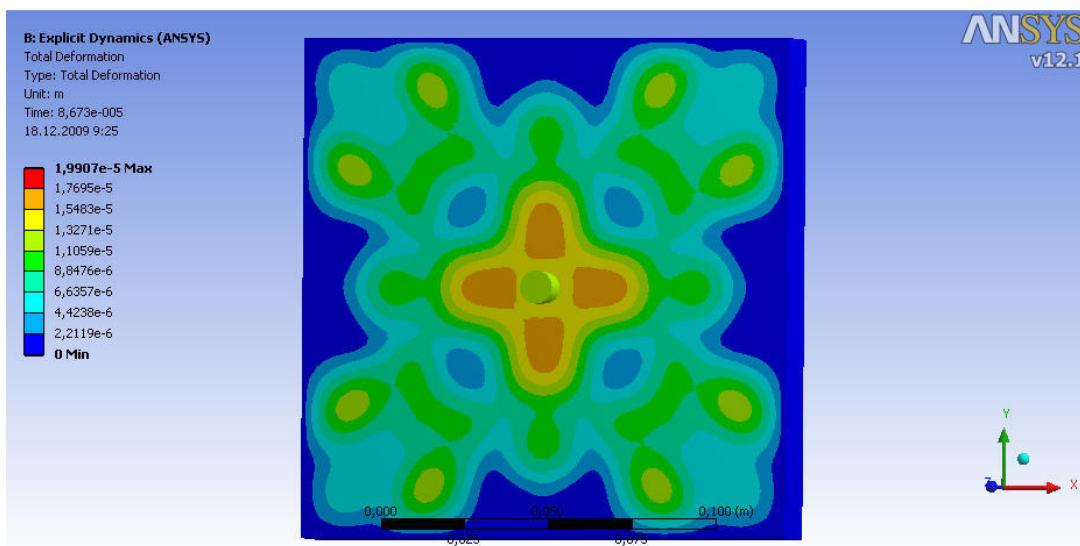


Рис. 1г. – Полное перемещение

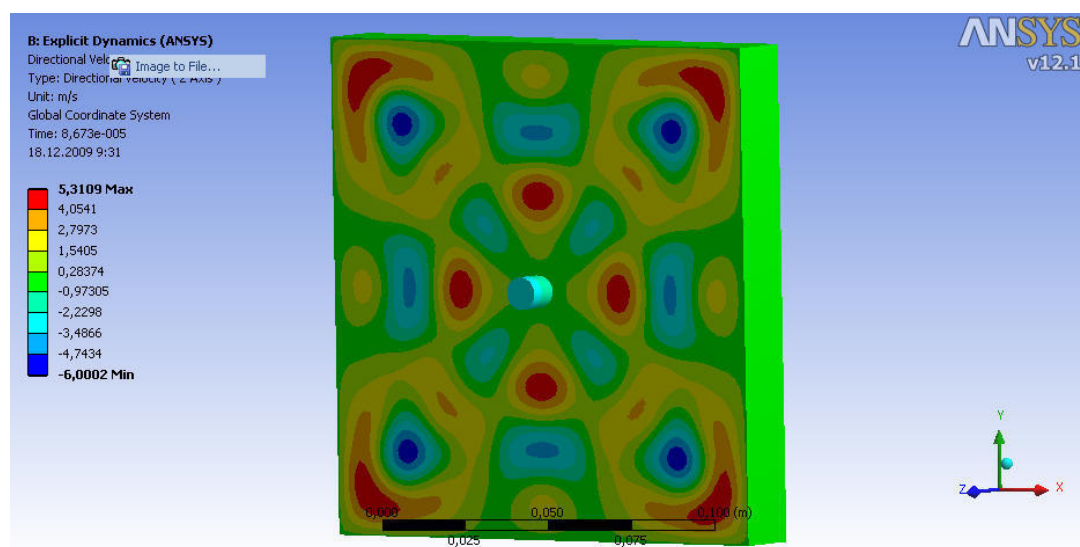


Рис. 1д. – Скорость относительно Z

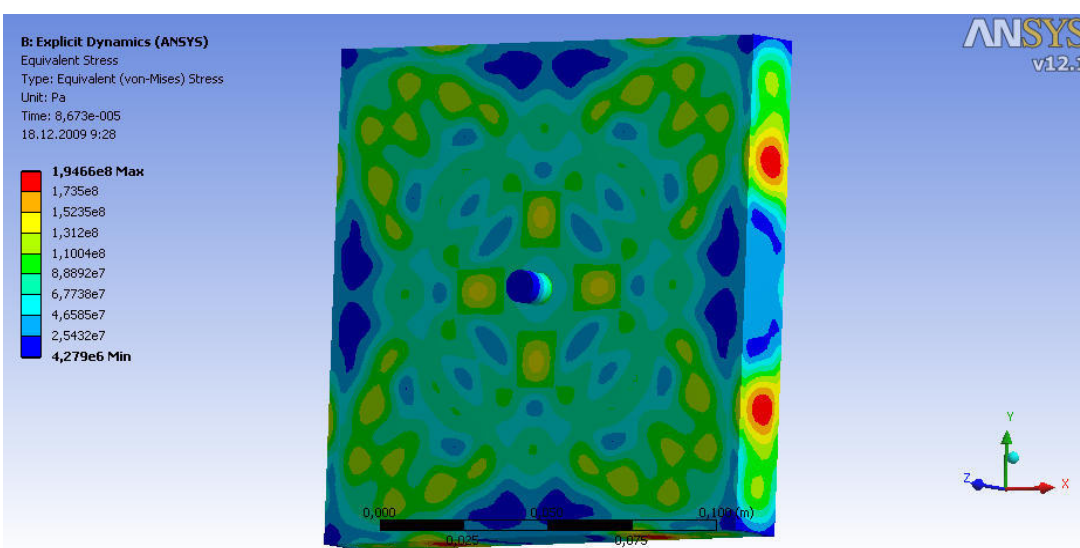


Рис. 1е. – Эквивалентные напряжения

б) на рисунках 2а – 2в показаны результаты определения предельной толщины преграды из материала сталь3 (она составила 15мм) для ударника цилиндрической формы из того же материала ($m = 9,5г$).

В общем случае критическая скорость пробития преграды может быть определена:

$$v_{кр} = \left[v_{ин}^2 - v_{zn}^2 \exp\left(2\chi^* \cdot \frac{m_n}{m_0}\right) \right]^{\frac{1}{2}}, \quad (7)$$

где m_n – масса материала преграды, выбитого ударником;

χ^* – уточненный параметр.

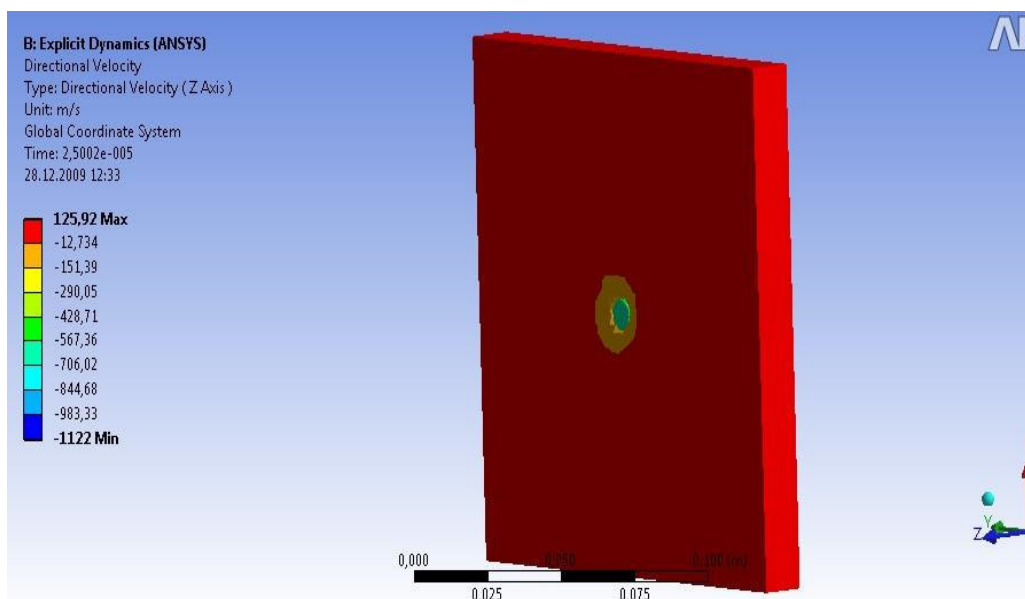


Рис. 2а. – Определение предельной толщины преграды в начальный момент времени

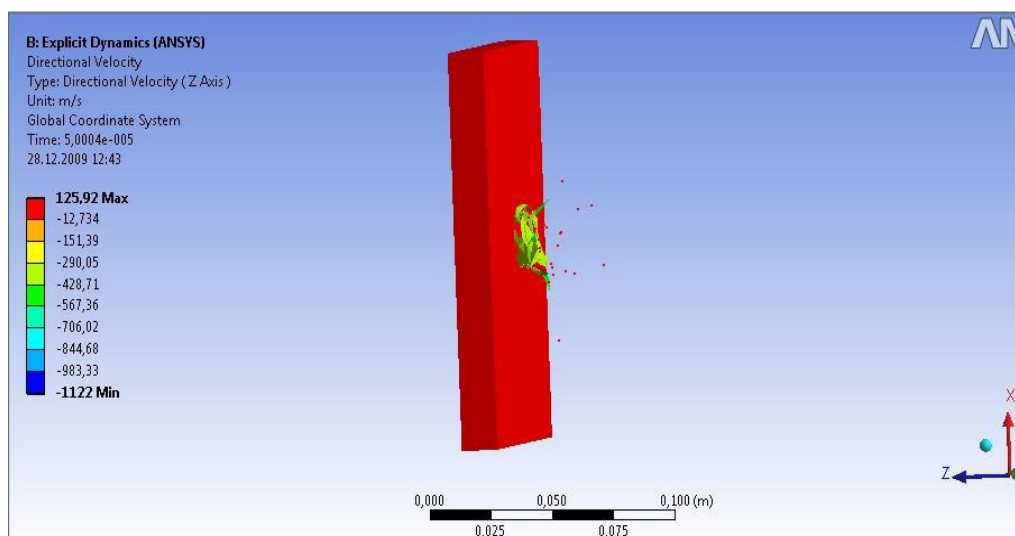


Рис. 2б. – Определение предельной толщины преграды в момент завершения пробития преграды

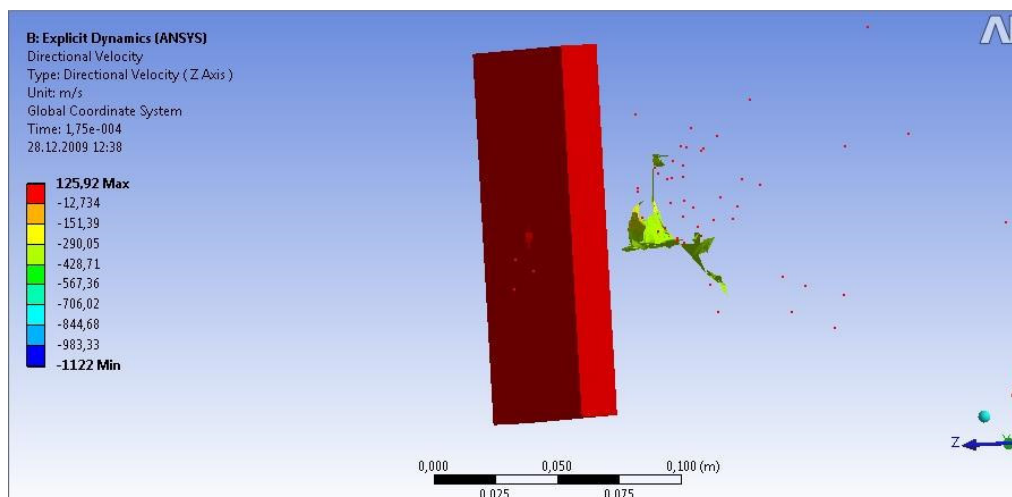


Рис. 2в. – Определение предельной толщины преграды. Завершающая фаза

Из выражения (7) определим v_{zn} . С учетом того, что при скоростях $\sim 0,3 \div 1,0$ км/с сопротивляемость проникновению ударника $f = H_\delta + \chi^* \rho_n v_{nn}$, получим:

$$v_{zn} = \left[\frac{v_{nn}^2}{\exp\left(2\chi^* m_n / m_0\right)} - \frac{H_\delta}{\chi^* \rho_n} \left[\exp\left(2\chi^* m_n / m_0\right) - 1 \right] \right]^{\frac{1}{2}} \quad (8)$$

Скорость перед преградой определяется выражением:

$$v_{nn} = v_0 / \exp(-c_x \rho_\delta S l / 2m_0), \quad (9)$$

где c_x – коэффициент сопротивления ударника;

ρ_δ – плотность воздуха;

l – расстояние до преграды;

v_0 – начальная скорость ударника (пули).

Аэродинамическое давление от действия скоростного напора $q = \rho v^2 / 2$ при асимметричном обтекании ударника для конуса определим:

$$P = 2q \sin^2 \beta, \quad (10)$$

где β – угол полураствора конуса.

С учетом отличия формы ударника от конуса запишем:

$$P = 2q\chi^*. \quad (11)$$

Введем коэффициент $\xi = S\rho_n h / m_0$, где ρ_n – плотность материала преграды. Так как $B = 2S\chi\rho / m_0$, с учетом (9), выражение (8) запишется в виде:

$$v_{zn} = \left\{ \left(\frac{v_0}{(1+\xi)\exp[-c_x \rho_s S l / 2m_0]} \right)^2 - \sigma_s \left[\frac{3,35h(1+0,75\xi)}{d_0 \rho_0 (1+\xi^2)} + \frac{2,82h}{d_0 \rho_0 (1+\xi)} \right]^2 \right\}^{\frac{1}{2}} \quad (11)$$

Проведенные расчеты позволили определить параметры ударников за преградой (табл. 1) и критическую скорость пробивания (табл. 2).

Таблица 1. – Параметры ударников за преградой

Толщина преграды δ мм [Ст.3]	d пули после пробития, мм	v_{zn} , м/с (скорость за преградой)	d пули после пробития, мм	v_{zn} , м/с (скорость за преградой)
	Пуля 7,62×51М $m_0=9,1$ г, $v_{mn}=810$ м/с		Пуля 7,62×54R $m_0=13$ г, $v_{mn}=705$ м/с	
2	8	780	8	675
4	12	715	14	605
8	16	550	18	450

Таблица 2. – Критическая скорость пробивания

Толщина преграды δ мм [Ст.3]	4	8	14
$v_{кр}$, м/с (критическая скорость пробивания)	440	630	850

СПИСОК ЛИТЕРАТУРЫ

1. Бушман, А.В. и др. Теплофизика и динамика интенсивных импульсных воздействий [Текст] / А.В. Бушман, Г.И. Канель, А.Л. Ни. – Черногородка: Изд. ИХФ АН СССР, 1988. – 198 с.
2. Сахабудинов, Р.В. и др. Научно-методические основы обеспечения физической защиты ядерноопасных объектов [Текст] / Р.В. Сахабудинов, О.А. Губеладзе. – Ростов-на-Дону: ООО «Терра», 2006. – 153 с.
3. Горельский, В.А. и др. Исследование пробивания преград при несимметричном высокоскоростном ударе с учетом разрушения и тепловых эффектов [Текст] / В.А. Горельский, С.А. Зелепугин, В.Ф. Толкачев // Изв. АН РФ. Механика твердого тела. – 1994. – №5. – С. 121–130.
4. Афанасьев, С.А. и др. Численное моделирование разрушения конструкции с керамическим слоем при динамическом нагружении удлиненным ударником [Текст] / С.А. Афанасьев, А.Н. Белобородько, В.А. Григорян // Изв. АН РФ. Механика твердого тела. – 1996. – №1. – С. 114–123.

REFERENCES

- [1] Bushman A.V., Kanel' G.I., Ni A.L. Teplofizika i dinamika intensivnyh impul'snyh vozdeystviy [Thermophysics and dynamics of intensive pulse influences], Chernogodovka: Izd. IPh AN SSSR [IHP Academy of Sciences, USSR], 1988, p. 198. (in Russian)
- [2] Sakhabudinov, R.V. i dr. Nauchno-metodicheskiye osnovy obespecheniya fizicheskoy zashchity yadernoopasnykh obyektov [Scientific and methodical bases of ensuring physical protection of nuclear-dangerous objects]. Rostov-na-Donu: ООО «Terra» [JSC Terra], 2006, 153 p. (in Russian)
- [3] Gorelsky, V.A. i dr. Issledovaniye probivaniya pregrad pri nesimmetrichnom vysokoskorostnom udare s uchetom razrusheniya i teplovykh effektov [Research of punching of barriers at asymmetrical high-speed blow taking into account destruction and

- thermal effects] Izvestia AN RF. Mekhanika tverdogo tela.[Russian Federation Academy of Sciences News. Mechanics of a solid body], 1994, Vol. 5, ISSN 0572-3299, p. 121–130. (in Russian)
- [4] Afanasyev, S.A. i dr. Chislennoye modelirovaniye razrusheniya konstruktсии s keramicheskim slozem pri dinamicheskom nagruzhenii udlinennym udarnikom [Numerical modeling of destruction of a design with a ceramic layer at dynamic loading by the extended drummer] Izv. AN RF. Mekhanika tverdogo tela. [Russian Federation Academy of Sciences News. Mechanics of a solid body], 1996, Vol. 1, ISSN 0572-3299, p. 114–123. (in Russian)

Modeling of High Speed Blow

O.A. Gubeladze

*Volgodonsk Engineering Technical Institute
the Branch of National Research Nuclear University «MEPhI»,
73/94 Lenin St., Volgodonsk, Rostov region, Russia 347360
e-mail: geodez@aanet.ru*

Abstract – The problem of dynamic contact problems solution of interaction of a cylindrical form drummer with a barrier on a normal by numerical methods is considered.

Keywords: dynamic contact task, numerical methods, drummer.